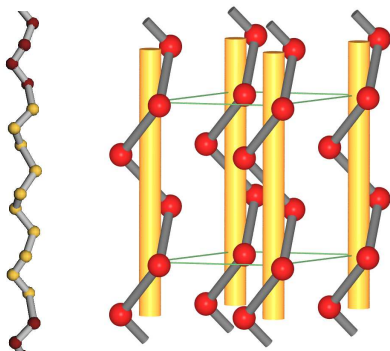


2.3. Kovalente Verbindungen (Forts.)



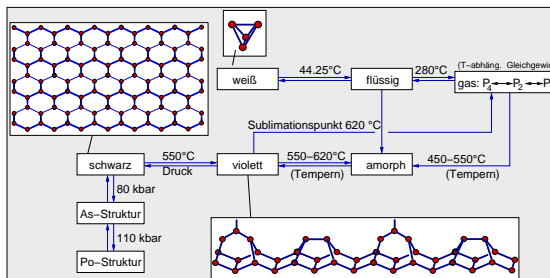
	d_{X-X}^1 intram. [pm]	d_{X-X}^2 interm. [pm]	\angle_{XXX} [°]	Dieder- winkel [°]	An- ordnung	Band- lücke [eV]
S ₈ (α)	205	380	108	98	cisoid	
S ₁₂					cis/transoid	
S _∞					transoid	
Se (grau)	237	344	103.1		transoid	2.2
Te	283	349	101.5		transoid	0.33
Po (α)	336	336	90	90	-	

S_x

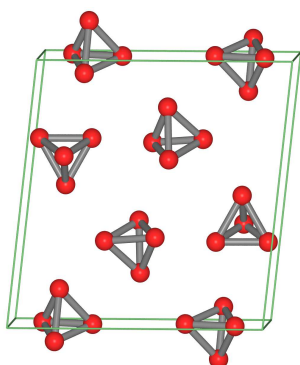
Se

2.2.4. Pentele (Pnicogene)

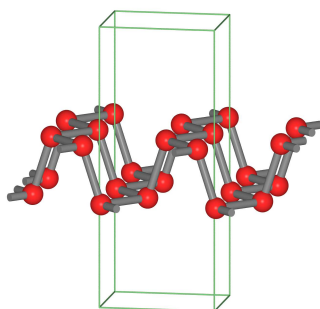
	d_{X-X}^1 intram. [pm]	d_{X-X}^2 interm. [pm]	\angle_{X-X-X} [°]	Band- lücke [eV]
P ₄	221		60	
P (Hittorf)	222		100.9	
P (schwarz)	222	331	96-102	
P (8.3 GPa)	213	327	105	
P (11 GPa)	238	238	90	
As (A7)	252	312	97	klein
Sb (A7)	291	336	95	0
Sb (8.5 GPa)	296	296	90	0
Bi (A7)	307	353	95	0



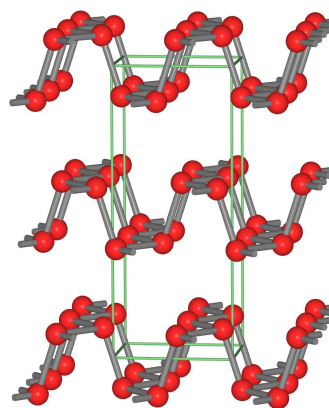
Polymorphie von Phosphor



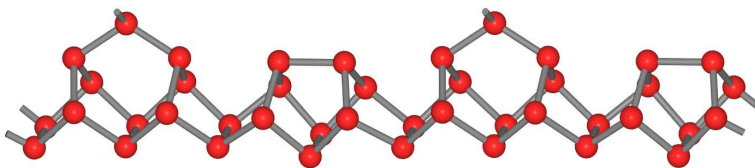
weißer Phosphor



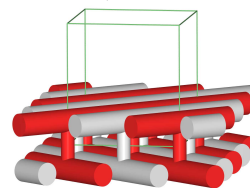
P_{schwarz}, A17 (Einzelschicht)



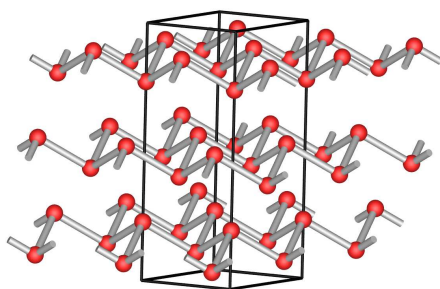
P_{schwarz}, A17 (Elementarzelle)



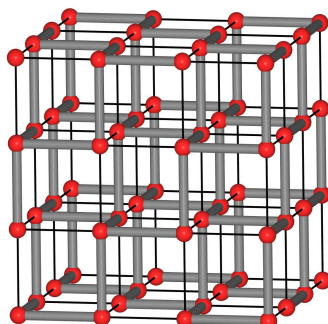
P_{Hittorf} (Einzelröhre)



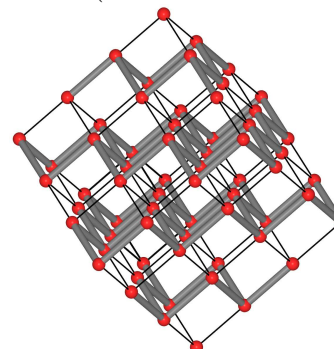
P_{Hittorf} (Schichten aus Röhren)



Struktur von grauem As



Zusammenhang zwischen



α-Po und As_{grau} (A7)